

УДК 539.375

## СОЕДИНЕНИЕ УПРУГИХ ПЛАСТИН В ПАКЕТ ВДОЛЬ ПЕРИОДИЧЕСКОЙ СИСТЕМЫ ОТРЕЗКОВ

В. В. Сильвестров, И. А. Иванов

Чувашский государственный университет им. И. Н. Ульянова, 428015 Чебоксары

Рассматривается система тонких упругих бесконечных пластин, наложенных друг на друга и соединенных вдоль периодической системы коллинеарных отрезков. Упругие свойства и толщины пластин в общем случае разные. Пластины растягиваются усилиями, приложенными к ним на бесконечности. Методом решения матричной краевой задачи Римана построен алгоритм нахождения комплексных потенциалов, описывающих напряженное состояние пластин, и найдены коэффициенты интенсивности напряжений, построены их графики.

**1. Постановка задачи.** Пусть  $n$  тонких бесконечных упругих однородных изотропных пластин  $E_1, E_2, \dots, E_n$ , занимающих всю плоскость комплексной переменной  $z = x + iy$ , наложены одна на другую и соединены между собой без натяга и промежуточных прослоек вдоль периодической системы отрезков  $l_j = [a + jT, b + jT]$ ,  $j = 0, \pm 1, \pm 2, \dots$  действительной оси  $x$ . Пластина  $E_k$  ( $k = \overline{1, n}$ ) имеет толщину  $h_k$ , модуль сдвига  $\mu_k$  и коэффициент Пуассона  $\nu_k$ . В полосе периодов пластины  $E_k$  при  $y \rightarrow +\infty$  действуют расположенные в плоскости пластины напряжения  $(\sigma_x^\infty)'_k, (\sigma_y^\infty)'_k, (\tau_{xy}^\infty)'_k$ , отнесенные к единице толщины пластины, и вращение  $(\omega^\infty)'_k$ , при  $y \rightarrow -\infty$  — соответственно  $(\sigma_x^\infty)''_k, (\sigma_y^\infty)''_k, (\tau_{xy}^\infty)''_k$  и  $(\omega^\infty)''_k$ .

Будем считать: 1) пластины находятся в обобщенном плоском напряженном состоянии и взаимодействуют друг с другом только через линии соединения, причем пространственный эффект концентрации напряжений на линиях соединения пренебрежимо мал и трение между пластинами отсутствует; 2) на концах отрезков  $l_j$  напряжения и производные по  $x$  от компонент смещения могут обращаться в бесконечность с порядком меньше 1, а в остальных точках они непрерывны.

На линиях соединения пластин должны выполняться условия сопряжения

$$(u + iv)_k^+ = (u + iv)_k^-, \quad k = \overline{1, n}, \quad (u + iv)_k^+ = (u + iv)_{k+1}^+, \quad k = \overline{1, n-1}, \quad (1.1)$$

$$\sum_{k=1}^n h_k (\sigma_y - i\tau_{xy})_k^+ = \sum_{k=1}^n h_k (\sigma_y - i\tau_{xy})_k^-,$$

где  $(u + iv)_k$  — вектор смещения точек пластины  $E_k$ ;  $(\sigma_y, \tau_{xy})_k$  — соответственно нормальное и касательное напряжения в точках пластины  $E_k$ , отнесенные к единице ее толщины. Первые  $2n - 1$  условия в (1.1) представляют собой условие равенства смещений точек пластин  $E_1, E_2, \dots, E_n$  на линии соединения, а последнее условие — условие равновесия точек этой линии.

Необходимо определить периодическое напряженное состояние описанного выше пакета пластин. Данная задача для двух пластин решена в [1]. Пакеты пластин, соединенных

Работа выполнена при финансовой поддержке Российского фонда фундаментальных исследований (код проекта 01-01-00720).

вдоль конечного числа отрезков или концентрических окружностей или конечного числа разомкнутых кривых, изучены в [2–4].

В рассматриваемом случае напряжения, вращение и частные производные по  $x$  от компонент смещения в пластине  $E_k$  выражаются через две кусочно-голоморфные функции  $\Phi_k(z)$  и  $\Omega_k(z)$  формулами [5]

$$(\sigma_x + \sigma_y)_k = 4 \operatorname{Re} \Phi_k(z), \quad 2\mu_k \omega_k = (1 + \varkappa_k) \operatorname{Im} \Phi_k(z), \quad \varkappa_k = (3 - \nu_k)/(1 + \nu_k),$$

$$(\sigma_y - i\tau_{xy})_k = \Phi_k(z) + \Omega_k(\bar{z}) + (z - \bar{z})\overline{\Phi'_k(z)}, \quad (1.2)$$

$$2\mu_k(u' + iv')_k = \varkappa_k \Phi_k(z) - \Omega_k(\bar{z}) - (z - \bar{z})\overline{\Phi'_k(z)}, \quad k = \overline{1, n}.$$

Функции  $\Phi_k(z)$ ,  $\Omega_k(z)$  периодичны с основным периодом  $T$ . В полосе периодов  $0 \leq \operatorname{Re} z \leq T$  на бесконечности эти функции, согласно теории периодических аналитических функций, имеют вид [6]

$$\Phi_k(z) = \gamma'_k + O(e^{-|y|}), \quad \Omega_k(z) = \delta'_k + O(e^{-|y|}) \quad \text{при } y \rightarrow +\infty; \quad (1.3)$$

$$\Phi_k(z) = \gamma''_k + O(e^{-|y|}), \quad \Omega_k(z) = \delta''_k + O(e^{-|y|}) \quad \text{при } y \rightarrow -\infty. \quad (1.4)$$

Используя формулы (1.2) и представления (1.3), (1.4), находим

$$\gamma'_k = \frac{1}{4} [(\sigma_x^\infty)'_k + (\sigma_y^\infty)'_k] + \frac{2i\mu_k}{1 + \varkappa_k} (\omega^\infty)'_k,$$

$$\delta'_k = \frac{1}{4} [3(\sigma_y^\infty)''_k - (\sigma_x^\infty)''_k] - i \left[ (\tau_{xy}^\infty)''_k + \frac{2\mu_k}{1 + \varkappa_k} (\omega^\infty)''_k \right],$$

$$\gamma''_k = \frac{1}{4} [(\sigma_x^\infty)''_k + (\sigma_y^\infty)''_k] + \frac{2i\mu_k}{1 + \varkappa_k} (\omega^\infty)''_k, \quad (1.5)$$

$$\delta''_k = \frac{1}{4} [3(\sigma_y^\infty)'_k - (\sigma_x^\infty)'_k] - i \left[ (\tau_{xy}^\infty)'_k + \frac{2\mu_k}{1 + \varkappa_k} (\omega^\infty)'_k \right].$$

**2. Решение задачи.** На основе формул (1.2) и условий сопряжения (1.1) для нахождения функций  $\Phi_k(z)$ ,  $\Omega_k(z)$  ( $k = \overline{1, n}$ ) получим краевую задачу

$$\varkappa_k \Phi_k^+(t) - \Omega_k^-(t) = \varkappa_k \Phi_k^-(t) - \Omega_k^+(t), \quad k = \overline{1, n},$$

$$\frac{\mu_{k+1}}{\mu_k} [\varkappa_k \Phi_k^+(t) - \Omega_k^-(t)] = \varkappa_{k+1} \Phi_{k+1}^+(t) - \Omega_{k+1}^-(t), \quad k = \overline{1, n-1}, \quad (2.1)$$

$$\sum_{k=1}^n h_k (\Phi_k^+(t) + \Omega_k^-(t)) = \sum_{k=1}^n h_k (\Phi_k^-(t) + \Omega_k^+(t)), \quad t \in l_0$$

в классе периодических функций с основным периодом  $T$ . Запишем задачу (2.1) в матричной форме

$$A\Phi^+(t) = B\Phi^-(t) \quad \text{или} \quad \Phi^+(t) = A^{-1}B\Phi^-(t), \quad t \in l_0, \quad (2.2)$$

где

$$\Phi(z) = \{\Phi_1, \Phi_2, \dots, \Phi_n, \Omega_1, \Omega_2, \dots, \Omega_n\}^T,$$

$$A = \begin{pmatrix} A_1 & E \\ A_2 & A_3 \end{pmatrix}, \quad B = \begin{pmatrix} B_1 & E \\ B_2 & B_3 \end{pmatrix},$$

$$A_1 = \operatorname{diag} \{\varkappa_1, \varkappa_2, \dots, \varkappa_n\}, \quad B_1 = A_1, \quad B_2 = -A_3,$$

$$A_2 = \begin{pmatrix} \mu_1^* \varkappa_1 & -\varkappa_2 & 0 & \dots & 0 & 0 \\ 0 & \mu_2^* \varkappa_2 & -\varkappa_3 & \dots & 0 & 0 \\ \dots & \dots & \dots & \dots & \dots & \dots \\ 0 & 0 & 0 & \dots & \mu_{n-1}^* \varkappa_{n-1} & -k_n \\ h_1 & h_2 & h_3 & \dots & h_{n-1} & h_n \end{pmatrix},$$

$$A_3 = \begin{pmatrix} 0 & 0 & \dots & 0 \\ 0 & 0 & \dots & 0 \\ \dots & \dots & \dots & \dots \\ 0 & 0 & \dots & 0 \\ -h_1 & -h_2 & \dots & -h_n \end{pmatrix}, \quad B_3 = \begin{pmatrix} \mu_1^* & -1 & 0 & \dots & 0 & 0 \\ 0 & \mu_2^* & -1 & \dots & 0 & 0 \\ \dots & \dots & \dots & \dots & \dots & \dots \\ 0 & 0 & 0 & \dots & \mu_{n-1}^* & -1 \\ -h_1 & -h_2 & -h_3 & \dots & -h_{n-1} & -h_n \end{pmatrix},$$

$$\mu_k^* = \mu_{k+1}/\mu_k.$$

Найдем собственные значения матрицы  $A^{-1}B$ . Для этого рассмотрим характеристическое уравнение  $|A^{-1}B - \lambda E| = 0$ , которое можно записать иначе:  $|B - \lambda A| = 0$ . После элементарных преобразований матрицы  $B - \lambda A$  уравнение примет вид  $C(1 - \lambda)^{n+1}(1 + \lambda)^{n-1} = 0$ ,  $C = \text{const} \neq 0$ .

Можно показать, что алгебраические кратности собственных значений матрицы  $A^{-1}B$  равны их геометрическим кратностям. Следовательно, собственные векторы матрицы  $A^{-1}B$  линейно независимы и матрица  $S^{-1}A^{-1}BS$  ( $S$  — матрица, столбцами которой являются собственные векторы матрицы  $A^{-1}B$ ) является диагональной с диагональными элементами  $\lambda_1 = \lambda_2 = \dots = \lambda_{n+1} = 1$ ,  $\lambda_{n+2} = \lambda_{n+3} = \dots = \lambda_{2n} = -1$  [7]. Тогда задача (2.2) распадается на  $2n$  независимых задач

$$F_j^+(t) = F_j^-(t), \quad t \in L, \quad j = \overline{1, n+1}, \quad F_j^+(t) = -F_j^-(t), \quad t \in L, \quad j = \overline{n+2, 2n} \quad (2.3)$$

для компонент  $F_1, F_2, \dots, F_{2n}$  новой кусочно-голоморфной вектор-функции  $F(z) = S^{-1}\Phi(z)$ . Функция  $F(z)$  на концах отрезка  $l_0$  может обращаться в бесконечность с порядком меньше 1, а в полосе периодов на бесконечности в силу (1.3), (1.4), (2.2) имеет представления

$$F(z) = S^{-1}G' + O(e^{-|y|}) \quad \text{при } y \rightarrow +\infty, \quad F(z) = S^{-1}G'' + O(e^{-|y|}) \quad \text{при } y \rightarrow -\infty; \quad (2.4)$$

$$G' = \{\gamma'_1, \gamma'_2, \dots, \gamma'_n, \delta'_1, \delta'_2, \dots, \delta'_n\}^T, \quad G'' = \{\gamma''_1, \gamma''_2, \dots, \gamma''_n, \delta''_1, \delta''_2, \dots, \delta''_n\}^T, \quad (2.5)$$

где  $\gamma'_k, \gamma''_k, \delta'_k, \delta''_k$  определяются формулами (1.5);  $O(e^{-|y|})$  — вектор-функция, каждая компонента которой при больших  $y$  сравнима с  $e^{-|y|}$ .

Согласно [8] периодические решения задач (2.3), (2.4) имеют вид

$$F_j(z) = d_j, \quad j = \overline{1, n+1},$$

$$F_j(z) = \chi(z) \left( c_{0j} + ic_{1j} \operatorname{ctg} \frac{\pi z}{T} \right), \quad j = \overline{n+2, 2n}, \quad (2.6)$$

$$\chi(z) = \left( \sin \frac{\pi z}{T} \right) / \sqrt{\sin \frac{\pi(z-a)}{T} \sin \frac{\pi(z-b)}{T}};$$

$$(S^{-1}G')_j = (S^{-1}G'')_j = d_j, \quad j = \overline{1, n+1}; \quad (2.7)$$

$$(S^{-1}G')_j = c_{0j} + c_{1j}, \quad (S^{-1}G'')_j = c_{0j} - c_{1j}, \quad j = \overline{n+2, 2n}, \quad (2.8)$$

где  $(S^{-1}G')_j$  и  $(S^{-1}G'')_j$  —  $j$ -е элементы векторов  $S^{-1}G'$  и  $S^{-1}G''$  соответственно; под функцией  $\chi(z)$  понимается ветвь, однозначная в полосе  $0 \leq \operatorname{Re} z \leq T$  с разрезом вдоль отрезка  $[a, b]$ , значения которой стремятся к 1 при  $y \rightarrow \pm\infty$ . Коэффициенты  $c_{0j}$  и  $c_{1j}$  однозначно определяются из (2.8), а равенства (2.7) накладывают  $n+1$  комплексное условие на напряжения и вращения в полосе периодов на бесконечности, а также на характеристики пластин. С учетом (1.5), (2.5) из равенств (2.7) (аналогично случаю двух пластин [1]) получим

$$\begin{aligned} (1 + \varkappa_k)[(\sigma_x^\infty)'_k - (\sigma_x^\infty)''_k] &= (3 - \varkappa_k)[(\sigma_y^\infty)'_k - (\sigma_y^\infty)''_k], & k = \overline{1, n}, \\ (\tau_{xy}^\infty)'_k - (\tau_{xy}^\infty)''_k &= -2\mu_k[(\omega^\infty)'_k - (\omega^\infty)''_k], & k = \overline{1, n}, \\ \sum_{k=1}^n h_k[(\tau_{xy}^\infty)'_k - (\tau_{xy}^\infty)''_k] &= 0, & \sum_{k=1}^n h_k[(\sigma_y^\infty)'_k - (\sigma_y^\infty)''_k] &= 0. \end{aligned} \quad (2.9)$$

В дальнейшем будем считать, что эти условия выполнены.

**3. Коэффициент интенсивности напряжений (КИН).** Так как  $\Phi(z) = SF(z)$ , согласно (2.6) функции  $\Phi_k(z)$ ,  $\Omega_k(z)$  вблизи точки  $z = b$  имеют вид

$$\Phi_k(z) = A_k(z - b)^{-1/2} + O(1), \quad \Omega_k(z) = -\varkappa_k A_k(z - b)^{-1/2} + O(1), \quad (3.1)$$

$$A_k = \sin \frac{\pi b}{T} \sum_{j=n+2}^{2n} s_{kj} \left( c_{0j} + i c_{1j} \operatorname{ctg} \frac{\pi b}{T} \right) / \sqrt{\frac{\pi}{T} \sin \frac{\pi(b-a)}{T}},$$

где  $s_{kj}$  — элементы матрицы  $S$ ; под  $\sqrt{z-b}$  понимается ветвь, однозначная в плоскости с разрезом по лучу  $(-\infty, b]$  действительной оси, значение которой равно 1 при  $z - b = 1$ .

Из (3.1) следует, что комплексные потенциалы  $\Phi_k(z)$ ,  $\Omega_k(z)$  вблизи конца линии соединения имеют тот же вид, что и вблизи конца жесткого тонкого остроугольного включения [9]. Поэтому КИН вблизи точки  $z = b$  в пластине  $E_k$  определяется формулой

$$(k_1 - ik_2)_k(b) = -2\varkappa_k \lim_{z \rightarrow b} \sqrt{2\pi(z-b)} \Phi_k(z) = -2\sqrt{2\pi} \varkappa_k A_k.$$

Тогда распределение напряжений вблизи концов линий соединения пластин будет таким же, как вблизи вершин жесткого тонкого остроугольного включения в одной пластине.

**ПРИМЕР 1.** Пусть две пластины  $E_1$ ,  $E_2$  одинаковой толщины  $h_1 = h_2 = 1$  с упругими характеристиками  $\varkappa_1 = 2,1$ ,  $\varkappa_2 = 2,3$  соединены вдоль отрезков  $[-b + \pi j, b + \pi j]$ ,  $j = 0, \pm 1, \dots$ . Приведем зависимости КИНа от отношения  $\mu_2/\mu_1$  для следующих случаев.

1. При  $y \rightarrow +\infty$  и  $y \rightarrow -\infty$  в пластинах  $E_1$  и  $E_2$  действуют напряжения  $(\sigma_y^\infty)'_1 = \sigma$ ,  $(\sigma_x^\infty)''_1 = \sigma(\varkappa_1 - 3)/(1 + \varkappa_1)$  и  $(\sigma_y^\infty)''_2 = \sigma$ ,  $(\sigma_x^\infty)'_2 = \sigma(\varkappa_2 - 3)/(1 + \varkappa_2)$ , а все остальные напряжения и вращения на бесконечности исчезают. При этом условия (2.9) выполняются. На рис. 1, а приведены зависимости коэффициента  $k_{11}/\sigma$  от отношения  $\mu_2/\mu_1$  для точек  $z = \pm b$  пластины  $E_1$  при различных значениях  $b$ . На рис. 1 кривая 1 соответствует  $b = 0,1\pi$ , 2 —  $b = 0,2\pi$ , 3 —  $b = 0,3\pi$ , 4 —  $b = 0,4\pi$ . При этом коэффициент  $k_2 = k_{21}$  для пластины  $E_1$  при любом значении  $b$  не зависит от отношения  $\mu_2/\mu_1$ , а КИНЫ для пластины  $E_2$  получаются умножением соответствующих коэффициентов для пластины  $E_1$  на  $-1,029$ . В таблице приведены значения коэффициента  $k_{21}/\sigma$ , соответствующие различным значениям  $b$ .

2. В пластине  $E_1$  при  $y \rightarrow +\infty$  и  $y \rightarrow -\infty$  действуют напряжения  $(\sigma_y^\infty)'_1 = (\sigma_y^\infty)''_1 = \sigma$ , остальные исходные данные нулевые. Тогда для пластины  $E_1$  коэффициент  $k_{21} = 0$ . На рис. 1, б приведены зависимости коэффициента  $k_{11}/\sigma$  от отношения  $\mu_2/\mu_1$  для точек  $z = \pm b$  пластины  $E_1$  при различных значениях  $b$ . КИНЫ для пластины  $E_2$  получаются умножением соответствующих коэффициентов для пластины  $E_1$  на  $-1,029$ .

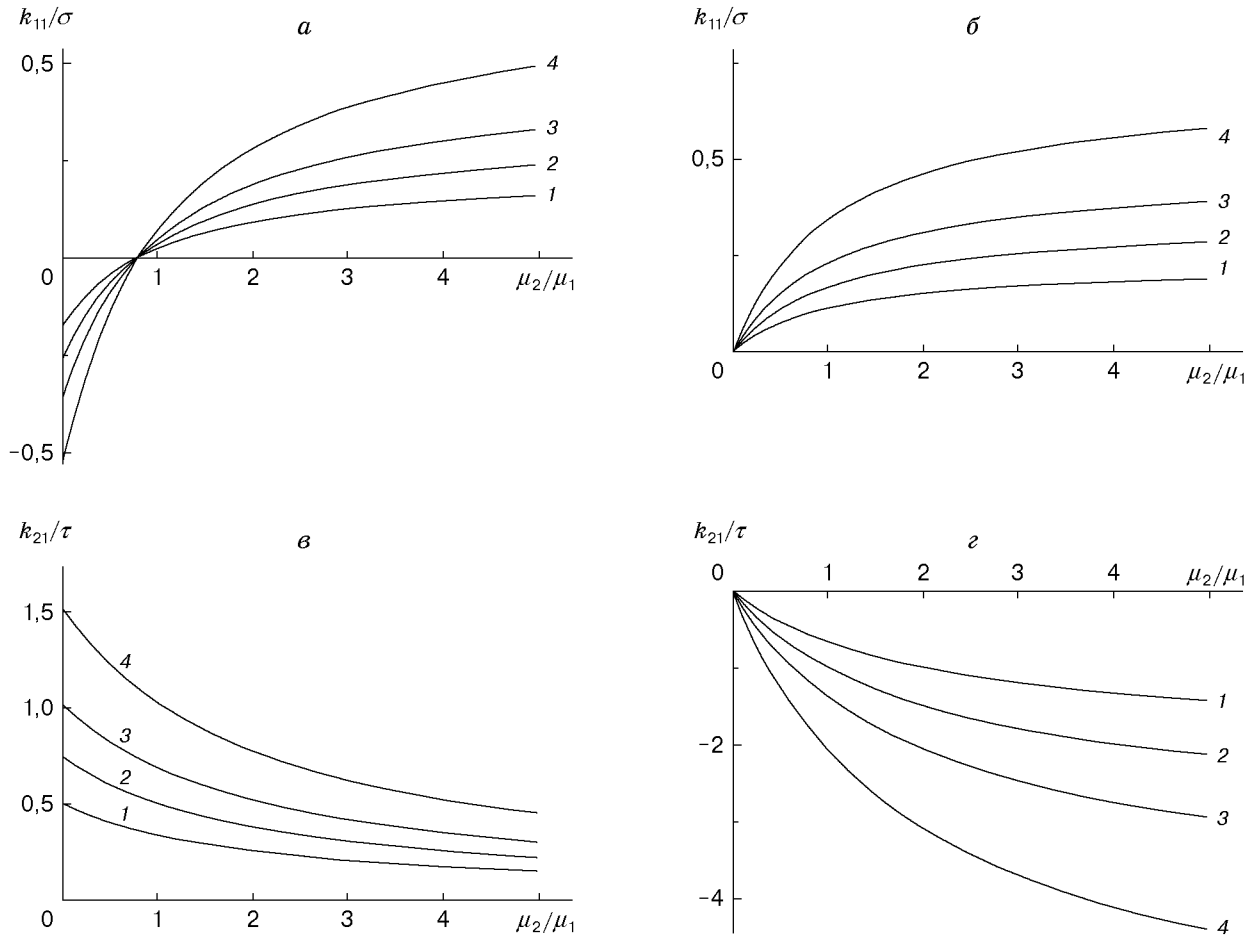


Рис. 1

**ПРИМЕР 2.** Пусть три пластины  $E_1, E_2, E_3$  одинаковой единичной толщины с упругими характеристиками  $\varkappa_1 = \varkappa_3 = 2,1, \varkappa_2 = 2,3, \mu_1 = \mu_3$  соединены в пакет вдоль отрезков  $[-b + \pi j, b + \pi j], j = 0, \pm 1, \dots$ . Приведем зависимости КИНа от отношения  $\mu_2/\mu_1$  для следующих случаев.

1. В пластине  $E_2$  при  $y \rightarrow +\infty$  и  $y \rightarrow -\infty$  действуют напряжения  $(\tau_{xy}^\infty)'_2 = (\tau_{xy}^\infty)''_2 = \tau$ , остальные исходные данные нулевые. Тогда для всех пластин коэффициент  $k_1 = 0$ . На рис. 1, в приведены зависимости коэффициентов  $k_{21}/\tau = k_{23}/\tau$  от отношения  $\mu_2/\mu_1$  для точек  $z = \pm b$  пластин  $E_1$  и  $E_3$  при различных значениях  $b$ . При этом КИНЫ для пластины  $E_2$  получаются умножением КИНов для пластины  $E_1$  на  $-2,058$ .

2. В пластинах  $E_1$  при  $y \rightarrow +\infty$  и  $E_3$  при  $y \rightarrow -\infty$  действуют касательные напряжения  $(\tau_{xy}^\infty)'_1 = (\tau_{xy}^\infty)''_3 = 2\tau$  и вращения  $(\omega^\infty)''_1 = \tau/\mu_1, (\omega^\infty)'_3 = \tau/\mu_3$ , остальные исходные данные нулевые. Тогда для пластины  $E_1$  коэффициент  $k_1 = k_{11}$  при любом значении  $b$  не зависит от отношения  $\mu_2/\mu_1$  (значения  $k_{11}/\tau$  при различных значениях  $b$  приведены в таблице). На

$b$	$k_{21}/\sigma$	$k_{11}/\tau$
$0,1\pi$	-2,307	4,614
$0,2\pi$	-1,543	3,086
$0,3\pi$	-1,121	2,242
$0,4\pi$	-0,750	1,499

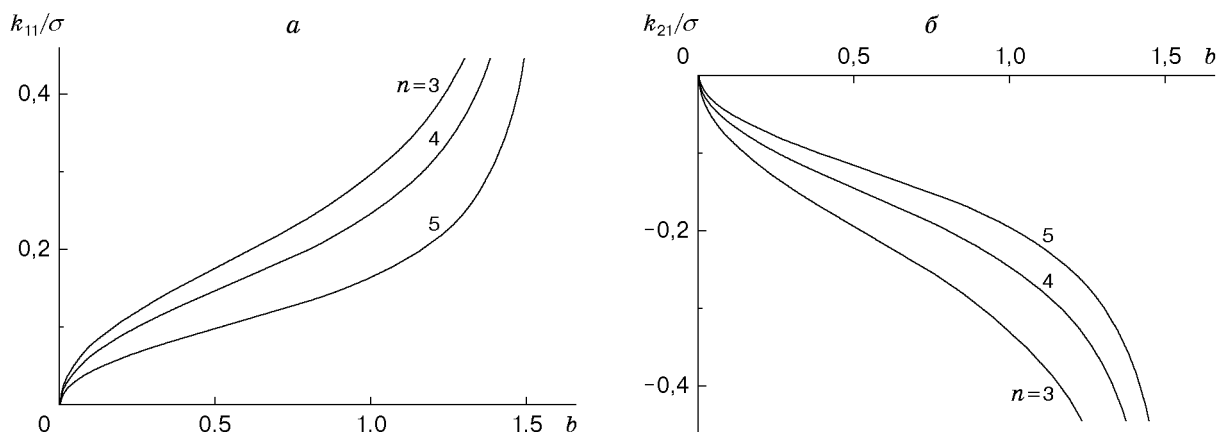


Рис. 2

рис. 1,2 приведена зависимость коэффициента  $k_{21}/\tau$  от отношения  $\mu_2/\mu_1$  при различных значениях  $b$ . При этом КИНЫ для пластин  $E_1$  и  $E_3$  совпадают, а КИНЫ для пластины  $E_2$  получаются умножением КИНов для пластины  $E_1$  на  $-2,058$ .

**ПРИМЕР 3.** Пусть пластины  $E_1, E_2, \dots, E_n$  одинаковой толщины с одинаковыми упругими характеристиками  $\varkappa, \mu$  соединены в пакет вдоль отрезков  $[-b + \pi j, b + \pi j]$ . В пластинах  $E_1, E_n$  при  $y \rightarrow +\infty$  и  $y \rightarrow -\infty$  действуют напряжения  $(\sigma_y^\infty)'_1 = (\sigma_y^\infty)''_n = \sigma$ ,  $(\sigma_x^\infty)''_1 = (\sigma_x^\infty)'_n = \sigma(\varkappa_1 - 3)/(1 + \varkappa_1)$ , остальные исходные данные нулевые. Тогда в случае двух пластин коэффициент  $k_1 = 0$ , а в случаях трех — пяти пластин зависимости этого коэффициента от  $b$  для пластин  $E_1$  и  $E_2$  приведены на рис. 2,а,б соответственно.

#### ЛИТЕРАТУРА

1. Сильвестров В. В., Иванов И. А. Растяжение двух упругих пластин, соединенных друг с другом вдоль периодической системы отрезков // Изв. инж.-технол. Акад. Чуваш. Респ. 1998. № 3/4; 1999. № 1/2. С. 42–46.
2. Сильвестров В. В., Чекмарев Г. Е. Пакет тонких упругих пластин, соединенных вдоль коллинеарных отрезков // Исследования по краевым задачам и их приложениям. Чебоксары: Изд-во Чуваш. ун-та, 1992. С. 38–42.
3. Сильвестров В. В., Шумилов А. В. Пакет тонких упругих пластин, соединенных вдоль концентрических окружностей // Изв. инж.-технол. Акад. Чуваш. Респ. 1997. № 1/2. С. 142–148.
4. Сильвестров В. В., Шумилов А. В. К задаче соединения упругих пластин в пакет вдоль кривых // Изв. РАН. Механика твердого тела. 2000. № 5. С. 166–174.
5. Мухелишвили Н. И. Сингулярные интегральные уравнения. М.: Наука, 1968.
6. Маркушевич А. И. Теория аналитических функций. М.: Наука, 1968. Т. 2.
7. Ланкастер П. Теория матриц. М.: Наука, 1978.
8. Чибрикова Л. И. Основные граничные задачи для аналитических функций. Казань: Изд-во Казан. ун-та, 1977.
9. Бережницкий Л. Т., Панасюк В. В., Стацук Н. Г. Взаимодействие жестких линейных включений и трещин в деформируемом теле. Киев: Наук. думка, 1983.

Поступила в редакцию 4/V 2000 г.